

- [1] Бонч-Бруевич В. Л., Калашников С. Г. Физика полупроводников. М., 1977. 672 с.
 [2] Ильин В. А., Литвак-Горская Л. Б., Рабинович Р. И., Шапиро Е. З. // ФТП. 1973. Т. 7. В. 8. С. 1631—1633.
 [3] Рабинович Р. И. // ЖЭТФ. 1978. Т. 75. В. 2. С. 524—535.
 [4] Эпштейн Э. М., Шмелев Г. М., Цуркан Г. И. Фотостимулированные процессы в полупроводниках. Кишинев, 1987. 168 с.
 [5] Шмелев Г. М., Эпштейн Э. М. // ФТП. 1982. Т. 16. В. 4. С. 747—749.
 [6] Лянда-Геллер Ю. Б. // ФТП. 1986. Т. 20. В. 9. С. 1736—1739.
 [7] Владимиров В. В., Волков А. Ф., Мейлихов Е. З. Плазма полупроводников. М., 1979. 254 с.
 [8] Kaw P. // Phys. Rev. Lett. 1968. V. 21. N 8. P. 539—541.

Институт прикладной физики
 АН МССР
 Кишинев

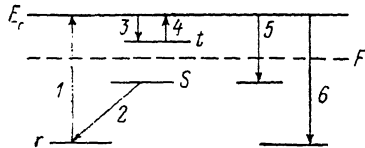
Получено 6.07.1988
 Принято к печати 21.09.1988

ФТП, том 23, вып. 2, 1989

МОДЕЛЬ АНОМАЛЬНОЙ ФОТОПРОВОДИМОСТИ

Стыс Л. Е.

Фотопроводимость называют аномальной (АФ), если ее стационарное значение практически не зависит от интенсивности возбуждающего света, а определяется лишь его энергией кванта [1]. Это явление впервые было обнаружено в аморфном селене [1], а затем и в других полупроводниках [2]. АФ наблюдается, как правило, после «вспышечной» кинетики фотопроводимости $\Delta\sigma(t)$, когда первоначальный рост $\Delta\sigma(t)$ сменяется ее спадом при постоянной интенсивности возбуждающего света. Возможные причины АФ обсуждались в [1, 2]. В настоящей работе показано, что основные закономерности АФ можно объяснить в рамках известной модели Роуза [3], если предположить, что темп рекомбинации лимитируется туннельными переходами неосновных локализованных носителей между рекомбинационными центрами различного типа.



Положение уровней в запрещенной зоне и электронные переходы (E_c и E_v — края разрешенных зон).

1—6 соответствуют номерам переходов в тексте.

Рассмотрим для определенности полупроводник n -типа, в котором есть центры трех типов (см. рисунок): мелкие донороподобные центры прилипания для электронов (t -центры), которые в термодинамическом равновесии не заполнены, так как расположены выше уровня Ферми F , и два типа акцептороподобных центров (r - и s -центры), которые расположены ниже уровня Ферми и заполнены электронами. В неравновесных условиях t -центры будут заполняться электронами, а r - и s -центры — дырками. Следуя Роузу [3], будем считать, что коэффициент захвата свободного электрона на дырку, локализованную на s -центре (C_s), намного больше, чем на r (C_r). Такое предположение вполне естественно, если учесть, что уровни s -центров расположены выше уровней r -центров (см. рисунок), поэтому при безызлучательной рекомбинации на s -центрах должно выделяться меньше фононов.

Допустим, что фотогенерация носителей осуществляется за счет перевода электрона с r -центра в s -зону (переход 1 на рисунке). Свободные электроны могут захватываться на t -центры и термически выбрасываться с них (процессы 3, 4) или рекомбинировать с дырками на r - или s -центрах (переходы 5, 6).

Дырки же на s -центрах, если термический выброс их с r -центров подавлен (мы предполагаем, что уровни r -центров дальше отстоят от v -зоны, чем уровни t -центров от s -зоны), могут возникать только за счет туннельной перелокализации их с r -центров (переход 2).

Рассмотрим ближайшую пару r - и s -центров размером l . Такая пара может находиться в четырех зарядовых состояниях. Обозначим через $g_{ij}(l, t)$ вероятность того, что принадлежащий паре r -центр находится в i -м зарядовом состоянии, а s -центр — в j -м. Индексы i и j могут принимать значения 0 и «-» в зависимости от того, находится ли в данном центре дырка или нет.

Совокупность величин $g_{ij}(l, t)$ определяется из системы уравнений

$$dg_{-0}/dt = \nu(l)g_{0-} + nC_r g_{00} - (f + nC_s)g_{-0}, \quad (1)$$

$$dg_{0-}/dt = fg_{--} + nC_s g_{00} - [\nu(l) + nC_r]g_{0-}, \quad (2)$$

$$dg_{00}/dt = fg_{-0} - n(C_s + C_r)g_{00}, \quad (3)$$

$$g_{--} + g_{-0} + g_{0-} + g_{00} = 1. \quad (4)$$

Здесь f — темп фотоионизации (переход 1), n — концентрация свободных электронов, $\nu(l)$ — вероятность туннельного перехода 2 в единицу времени:

$$\nu(l) = \nu_0 \exp(-\alpha l), \quad (5)$$

где ν_0 — характерная частота, $2\alpha^{-1}$ — радиус локализации дырки на r -центре [4], а l — размер пары.

Найдем стационарное ($dg_{ij}/dt = 0$) решение системы (1) — (4). С его помощью определим величины $r(l) = g_{-0} + g_{00}$ и $s(l) = g_{0-} + g_{00}$, которые предоставляют вероятность найти дырку на r -или s -центре. Можно показать, учитывая неравенство $C_s \gg C_r$, что

$$r(l) = \frac{f[\nu(l) + nC_r(f + nC_s)]}{[\nu(l) + f + nC_r](nC_s + f)nC_s + f^2\nu(l)}, \quad (6)$$

$$s(l) = \frac{\nu(l)f(f + nC_s)}{[\nu(l) + f + nC_r](nC_s + f)nC_s + f^2\nu(l)}. \quad (7)$$

В приближении пар средняя заселенность дырками r - и s -центров $\langle r \rangle$ и $\langle s \rangle$ есть

$$\langle r \rangle = \int_0^{\infty} r(l) F(l) dl, \quad (8)$$

$$\langle s \rangle = \int_0^{\infty} s(l) F(l) dl. \quad (9)$$

Если принять для определенности, что концентрация s -центров превосходит концентрацию r -центров ($N_s \gg N_r$) и центры обоих типов в пространстве распределены нескоррелировано, то

$$F(l) = 4\pi N_s l^2 \exp[-(4\pi/3) N_s l^3]. \quad (10)$$

Тогда концентрации дырок, локализованных на r - и s -центрах, есть $p_r = N_r \langle r \rangle$ и $p_s = N_s \langle s \rangle$.

Обсудим пределы применимости приближения ближайших пар. Такое приближение справедливо, если ближайший к дырке на r -центре s -центр, как правило, оказывается отрицательно заряженным, т. е. если $g_{0-}(l) > g_{00}(l)$. Из уравнений (1) и (3) вытекает, что последнее неравенство справедливо, когда

$$nC_s(f + nC_s) > f\nu(l). \quad (11)$$

Поэтому если величина l_1 , которая обращает (11) в равенство, такова, что

$$N_s l_1^3 \ll 1, \quad (12)$$

то справедливы выражения (8) и (9). В самом деле, если какой-то s -центр оказался ближайшим одновременно для двух r -центров и размеры этих пар $l > l_1$, то перелокализация дырок с r -центров на s -центры происходит практически независимо, а в силу условия (12) доля пар размером $l < l_1$ пренебрежимо мала.

Из выражений (6) и (7) с учетом (11) следует, что для пар размером $l > l_1$

$$r(l) = f/[f + \nu(l) + nC_r], \quad s(l) = r(l) \nu(l)/(nC_s). \quad (13)$$

Как видно из (13), максимальное расстояние L , на котором эффективно происходят туннельные переходы \mathcal{Z} , определяется из равенства $\nu(L) = f + nC_r$, т. е.

$$L = a^{-1} \ln [\nu_0/(f + nC_r)]. \quad (14)$$

(Последнее справедливо, когда $\nu_0 > f + nC_r$, что, как правило, имеет место для типичных параметров полупроводников [4]). Сопоставление (14) и (11) показывает, что $L > l_1$, если $nC_s > f$. Тогда, подставляя $r(l)$ и $s(l)$ из (13) в (8) и (9), можно показать, учитывая (10), что

$$\langle r \rangle = f(f + nC_r)^{-1} \exp[-(4\pi/3) N_s L^3], \quad (15)$$

$$\langle s \rangle = f(nC_s)^{-1} \{1 - \exp[-(4\pi/3) N_s L^3]\}. \quad (16)$$

Для того чтобы определить стационарную концентрацию электронов n_{st} , необходимо учесть условие электронейтральности, которое имеет вид

$$n + n_t = p_r + p_s. \quad (17)$$

Здесь n_t — концентрация электронов, локализованных на t -центрах, а $p_r = N_r \langle r \rangle$ и $p_s = N_s \langle s \rangle$ — концентрации дырок, локализованных на r - и s -центрах соответственно.

Поскольку в стационарном состоянии существует квазиравновесие между захватом и выбросом электронов с t -центров, то

$$n = \theta n_t. \quad (18)$$

Здесь $\theta = W\tau_t$ — фактор прилипания, W — темп термического выброса электронов с t -центров, $\tau_t = [C_t(N_t - n_t)]^{-1}$ — характерное время захвата электрона на t -центры, которое при $n_t \ll N_t$ (N_t — концентрация t -центров) можно считать величиной постоянной. Отметим, что в силу условия $\theta \ll 1$ в (17) можно пренебречь концентрацией свободных электронов n . Тогда из (17) с учетом (15), (16) и (18) вытекает, что

$$n = \frac{\theta f N_r}{f + nC_r} \exp\left(-\frac{4}{3} \pi N_s L^3\right) + \frac{\theta f N_r}{nC_s} \left[1 - \exp\left(-\frac{4}{3} \pi N_s L^3\right)\right]. \quad (19)$$

Когда первый член правой части (19) превосходит второй и $f > nC_r$, концентрация электронов с учетом определения L (14) есть

$$n_{st} = \theta N_r (f/\nu_0)^\beta, \quad (20)$$

где показатель люксамперной характеристики (ЛЛХ)

$$\beta = (4/3) \pi N_s a^{-3} [\ln(\nu_0/f)]^2. \quad (21)$$

Видно, что, в силу того что параметр слабого легирования $N_s a^{-3} \ll 1$, величина β может быть малой. Из предшествующего анализа следует, что $\beta \ll 1$, если выполняется неравенство

$$nC_s > f > nC_r, \quad (22)$$

с n из (20). Таким образом, интервал изменений величины f , в котором может наблюдаться аномальная фотопроводимость ($\beta \ll 1$), определяется соотношением C_s/C_r , которое составляет несколько порядков [3].

Для описания кинетики вспышечной фотопроводимости нужно рассмотреть уравнение

$$dn/dt = fN_r(1 - \langle r \rangle) - nC_t(N_t - n_t) + Wn_t - n(C_s p_s + C_r p_r). \quad (23)$$

Величины $p_r(t)$ и $p_s(t)$ можно определить, ограничиваясь рассмотрением пар с $l > l_1$ (11). решив уравнения

$$dr(l, t) dt = f(1 - r) - [v(l) + nC_r] r(l, t), \quad (24)$$

$$ds(l, t) dt = v(l) r(l, t) - nC_s s(l, t) \quad (25)$$

и проведя усреднение по формулам (8) и (9). Оказывается, что «вспышка» может происходить, если величина $n_m = fN_r / (C_t N_t)$ больше, чем n_{st} (19). При этом рост фототока продолжается в течение времени $(C_t N_t)^{-1}$, а спад, как видно из (24), происходит за характерное время f^{-1} .

Заметим, что условия реализации вспышки менее жесткие, чем для АФ. Аналогичный механизм немонотонной кинетики фотопроводимости при генерации типа «уровень—зона» был рассмотрен Рывкиным [5]. Существенное отличие состоит в том, что если интенсивно происходят туннельные ($r \rightarrow s$) переходы, то, как видно из (19), вспышка может происходить даже в случае пренебрежимо малого фотопроектирования (т. е. при $N_s L^3 > 1$).

Обсудим теперь зависимость аномальной фотопроводимости от энергии кванта возбуждающего света. В аморфных полупроводниках в действительности имеются не моноэнергетические уровни, а непрерывный спектр локализованных состояний [6]. Поэтому величина N_r в (20) зависит от того, из какой части этого спектра происходят переходы I .

Таким образом, предложенная модель позволяет объяснить основные закономерности АФ. Роль r -центров в неупорядоченных полупроводниках могут играть плотности локализованных состояний, а роль s - и t -центров — уровни D -центров в различных зарядовых состояниях [6]. Отметим также, что в халькогенидных стеклообразных полупроводниках, спектр локализованных состояний которых подобен спектру аморфного Se [6], неоднократно наблюдалась вспышечная кинетика фотопроводимости при генерации типа уровень—зона [7, 8]. Поэтому мы считаем, что предложенный механизм АФ реализуется в неупорядоченных полупроводниках, обладающих достаточно разветвленным спектром локализованных состояний.

Автор выражает благодарность М. К. Шейнкману и А. Я. Шикку за обсуждение результатов работы.

Л и т е р а т у р а

- [1] Корсунский М. И. Аномальная фотопроводимость. М., 1972. 192 с.
- [2] Шейнкман М. К., Шик А. Я. // ФТП. 1976. Т. 10. В. 2. С. 209—233.
- [3] Роуз А. Основы теории фотопроводимости. М., 1966. 192 с.
- [4] Осташко С. А., Стыс Л. Е. // УФЖ. 1988. Т. 33. В. 1. С. 97—101.
- [5] Рывкин С. М. Фотозлектрические явления в полупроводниках. М., 1963. 496 с.
- [6] Мотт Н., Дэвис Э. Электронные процессы в некристаллических веществах. Т. 1, 2. М., 1982.
- [7] Kolomiets B. T., Lyubin V. M. // Phys. St. Sol. (a). 1973. V. 17. N 1. P. 11—46.
- [8] Дьяченко Н. Г., Попов А. Ю., Трофименко М. Ю., Тюрин А. В. // ФТП. 1982. Т. 16. В. 10. С. 1872—1874.

Одесский политехнический институт

Получено 18.08.1988
Принято к печати 10.10.1988